

神戸大学工学部 学生員 ○岩田 和隆 神戸大学工学部 正会員 森川 英典
神戸大学大学院 学生員 橋本 航 神戸大学工学部 正会員 小林 秀恵

1.はじめに

近年、塩害やコンクリートの中性化により鉄筋が腐食し、RC構造物の耐久性を確保する上で鉄筋腐食が重要であることが広く認識されるに至った。そこで、図-1に示す模擬腐食鉄筋を用いてRCはりを作成してせん断破壊試験を行うことにより、鉄筋腐食時のせん断耐荷性能評価式を構築した。そして、構築した評価式を用いることにより、既存RC橋脚に対して鉄筋が腐食した場合の地震時損傷確率マトリックスを構築し耐震診断を行った。

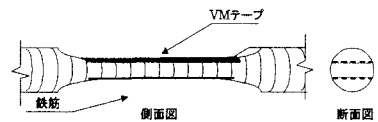


図-1 模擬腐食鉄筋概要

2.試験概要

試験で用いた供試体は、幅150mm、高さ240mm、有効高さ200mmの長方形断面を持つスパン1200mmのRCはりで、引張鉄筋（以下、主鉄筋）にD16を3本、圧縮鉄筋にD13を2本、配筋Ⅰにおいてはせん断補強鉄筋（以下、スターラップ）を150mm間隔で配置し、配筋Ⅱにおいてはスターラップを配置しないものとした。載荷方法は中央2点載荷で、せん断スパン比は2.5とし、コンクリート強度は16.9(N/mm²)とした。図-2に配筋Ⅰの試験供試体側面図を示す。また、腐食を表す指標には式(1)¹⁾から求められる腐食減量率を用いた。

$$\sigma_{cy} = \{1 - 1.98(\Delta w/100)\} \cdot \sigma_{sy} \quad (1)$$

ただし、 σ_{cy} ：腐食後の降伏強度、 σ_{sy} ：健全時の降伏強度、 Δw ：腐食減量率(%)

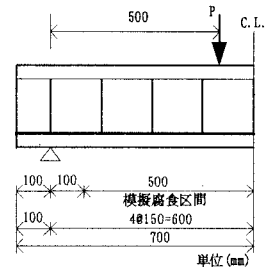


図-2 供試体概要

3.試験結果および考察

(1) せん断耐力の検討：表-1に各供試体の腐食パターンと試験結果を示す。なお、コンクリート強度は16.9(N/mm²)である。ここで便宜上、スターラップのみ腐食したものをパターンX、スターラップおよび主鉄筋が腐食したものをパターンY、主鉄筋のみ腐食したものをパターンZとする。せん断耐力評価式にはせん断スパン比の影響が考慮された二羽式²⁾による評価式を用いた。表-1から本試験結果においては、パターンXではスターラップが腐食するにつれ V_c の値が上昇している。パターンYにおける V_c の挙動は、スターラップ腐食による耐力上昇に加え、主鉄筋が腐食したことによりアーチ作用の影響を受けその値はさらに上昇する結果となった。また、スターラップを配置していないパターンZでは、腐食が進行するにつれ耐力は下がる結果となった。

(2) 評価式の提案：本試験結果をもとに鉄筋腐食によるRC部材のせん断耐力評価式を提案する。コンクリート分担せん断耐力(V_{c0})に対して、腐食減量率をパラメータとした補正係数 β_1 、 β_2 を乗じることで鉄筋腐食によるRC部材のコンクリート分担せん断耐力(V_c)を評価する。なお、補正係数 β_1 はスターラップのみ腐食時の評価値と実験値との差を補正するもので、パターンXの試験結果から評価し、補正係数 β_2 は主鉄筋のみ腐食時の評価値と実験値との差を補正するもので、パターンZの試験結果から評価している。以下に、二羽式をベースに構築した評価式を示す。

表-1 載荷試験結果

供試体番号	腐食パターン	二羽式評価値		実験値		実験値/評価値	
		V_c (kN)	V (kN)	V_c (kN)	V (kN)	V_c	V
S0-B0-I	X, Y	37.9	61.7	29.1	52.8	0.77	0.86
S10-B0-I	X	37.9	57.0	31.8	50.9	0.84	0.89
S20-B0-I	X	37.9	52.3	33.7	48.0	0.89	0.92
S10-B5-I	Y	35.9	54.9	37.5	56.6	1.05	1.03
S20-B10-I	Y	34.5	48.9	39.4	53.8	1.14	1.10
S0-B0-II	Z	37.9	—	31.9	—	0.84	—
S0-B5-II	Z	35.9	—	28.2	—	0.79	—
S0-B10-II	Z	34.5	—	27.0	—	0.78	—



$$V_{c1} = (\beta_1 \cdot \beta_2) \cdot V_{c0} \quad (2)$$

$$\beta_1 = 0.0079\Delta w_s + 1.006, \quad \beta_2 = -0.015\Delta w_b + 0.987$$

ただし、 V_{c1} ：鉄筋腐食時のコンクリート分担せん断耐力

V_{c0} ：健全時のコンクリート分担せん断耐力

Δw_s ：スターラップ腐食減量率(%)

Δw_b ：主鉄筋腐食減量率(%)

表-2に本提案式による評価値と実験値との比較を示す。

パターン X, Z については比較的良い精度が得られたが、パターン Y についてはアーチ作用の影響が表現できていない。そこで、パターン Y に関しては以下の方法によりコンクリート分担せん断耐力(V_{c2})の再評価を行った。

$$V_{c2} = \gamma V_{c1}, \quad \gamma = 0.018\Delta w_s + 1.038 \quad (\Delta w_s = 2\Delta w_b) \quad (3)$$

表-3に再提案した評価式による評価値と実験値との比較を示す。

表-3より比較的良い精度が得られており、アーチ作用による耐力増加も表現されており、式(3)で評価を行うのは妥当といえる。

4. 鉄筋腐食を考慮した地震時損傷確率

(1) 損傷確率評価手法：せん断破壊型 RC 橋脚に対する損傷確率評価は図-4のフロー³⁾に従って行った。今回対象とした橋脚は、昭和 39 年鋼道路橋設計示方書に準拠し、T 型 RC 単柱橋脚、せん断スパン比 1.88 (橋軸直角方向) のせん断破壊型橋脚である。また、せん断耐力算定に使用するコンクリート強度は 16.9(N/mm²)、鉄筋強度は 490(N/mm²)とした。そして、橋脚の被災度は AS : 崩壊、A : 大被害、B : 中被害、C : 小被害、D : 無被害とした。

(2) 損傷確率マトリックスの構築と評価

図-4 に示したフローに従って構築した地震時損傷確率マトリックスを表-4～表-6 に示す。なお、スターラップの腐食減量率は 10%，主鉄筋の腐食減量率は 5% と設定した。また、鉄筋腐食に関しては式(2)で評価した場合と式(3)で評価した場合とに分けて損傷確率マトリックスを構築した。表-5 から鉄筋腐食を式(2)で評価した場合、腐食の進行とともに A 判定以上となる確率が高くなっている。しかし、表-6 から式(3)で鉄筋腐食を評価すると、アーチ作用により腐食時の方が健全状態時よりもせん断耐力が大きくなるため、A 判定以上となる確率は健全時よりも低くなっている。

5.まとめ

模擬腐食鉄筋を用いた

RC はりのせん断破壊試

験を行い、その結果から鉄筋腐食による RC 部材のせん断耐力評価式を提案した。そして、提案した評価式を用いて、鉄筋腐食を考慮したせん断破壊型 RC 橋脚に対して地震時損傷確率マトリックスを構築したところ、主鉄筋の腐食によるアーチ作用の影響を考慮するか否かで結果が大きく変わることが明らかとなった。

【参考文献】 1) 李ら：第 19 回コンクリート工学年次論文報告集, No.1, 1997. 2) 二羽ら：土木学会論文集, No.508/V-26, 1995. 3) 森川、橋本ら：建設工学研究所論文報告集, 第 43-A 号, 2001.11.

表-2 評価値と実験値の比較

供試体番号	腐食パターン	評価値		実験値/評価値	
		V_{c1} (kN)	V_1 (kN)	V_{c1}	V_1
S0-B0-I	X, Y	28.8	52.6	1.01	1.00
S10-B0-I	X	31.1	50.2	1.02	1.01
S20-B0-I	X	33.4	47.7	1.01	1.01
S10-B5-I	Y	28.7	47.8	1.31	1.18
S20-B10-I	Y	28.3	42.7	1.39	1.26
S0-B0-II	Z	28.8	—	1.10	—
S0-B5-II	Z	26.7	—	1.06	—
S0-B10-II	Z	24.5	—	1.10	—

表-3 再評価値と実験値との比較

供試体番号	腐食パターン	評価値		実験値/評価値	
		V_{c2} (kN)	V_2 (kN)	V_{c2}	V_2
S0-B0-I	Y	29.9	53.7	0.97	0.98
S10-B5-I	Y	35.1	54.2	1.07	1.04
S20-B10-I	Y	40.3	54.7	0.98	0.98

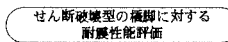


図-4 せん断破壊型 RC 橋脚に

対する損傷確率評価フロー

表-5 鉄筋腐食時の損傷

確率マトリックス
(式(2)で評価した場合)

表-6 鉄筋腐食時の損傷

確率マトリックス
(式(3)で評価した場合)

マトリックス

マトリックス

橋脚
被災度

気象庁震度階		
震度5	震度6	震度7
AS	0%	0%
A	0%	5.5%
B	0%	93.6%
C	0%	0%
D	100%	0%

橋脚
被災度

気象庁震度階		
震度5	震度6	震度7
AS	0%	0%
A	0%	63.1%
B	0%	36.3%
C	0%	0%
D	100%	0%

橋脚
被災度

気象庁震度階		
震度5	震度6	震度7
AS	0%	0%
A	0%	5.3%
B	0%	58.3%
C	0%	36.4%
D	100%	0%